

래디알 타이어의 構造力學

韓國타이어製造(株) 技術開發部 課長

柳根宣譯

1. 序 言

래디알 타이어(Radial tire, Gürtelreifen)는 1950年頃 開發되어 鋪裝道路上에서 從來의 바이어스 타이어보다도 耐久性 및 操縱性이 優秀하다는 것이 實證되면서부터 乘用車 및 트럭·버스 타이어로 急速히 伸張되었으며, 특히 유럽 地域에서는 占有率이 높다. 래디알 타이어는 補強 cord를 半徑方向으로 配列시킨 Carcass에 Breaker라고 하는 bias 積層型 belt가 圓周方向으로 감겨 있는 構造이므로 어느 정도 自由로이 타이어의 斷面形을 扁平化할 수 있는 한편, 對路面强度 및 剛性을 向上시킬 수 있는 構造上의 큰 長點을 가지고 있다. 이것은 Breaker라고 하는 構造要素가 타이어 設計法에 하나의 새로운 自由度를 주고 있다는 것, 즉 타이어 設計方式의 多樣化를 意味하게 되므로 實로 劇期的인 變革이라 할 수 있다. 그러나 이로 인한 벨트와 Carcass間의 層間剪斷強度問題라든가, side wall의 屈曲變形이 크므로 Bead部의 補強策을 考慮하지 않으면 안 되는 點 등 構造上의 諸問題가 派生하고 있다.

從來의 바이어스 타이어가 比較的 單純한 membrane 構造인데 對해, 래디알 타이어는 屈曲剛性을 가진 breaker belt를 包含한 構造方式이므로 cord 強化고무層으로 된 積層型複合構造體로서의 構造力學이 타이어 設計上에 絶對로 必要하게 되었다.

元來 타이어의 構造力學의 研究는 타이어의 斷面形狀이나 內壓에 依한 cord張力의 決定에 관한 設計理論과 타이어 構成要素의 複合材料力學 및 타이어의 靜的·動的 性能에 관한 構造理論의 두 分野로 大別할 수 있다. 타이어가 開發된지는 1世紀以上 되나 이들 構造力學의 研究가始作된 것은 겨우 20~30年前이다. 즉, 그 때까지는 H.F. Schippe¹⁾, F. Martin²⁾, C. Wood³⁾, J. Rotta⁴⁾ 및 R. Hadeckel⁵⁾ 등의 타이어 構造에 관한 先驅的研究는 있으나, 고무의 剛性을 無視한 網目理論(Netting theory)에 의한 明確한 바이어스 타이어 設計理論을 展開한 W. Hofferberth⁶⁾ (1955)의 研究는 타이어 構造力學의 基礎를 구축하였다라고 볼 수 있다. 이와 前後해서 Standing wave에 관한 D.M. Turner⁷⁾ (1954)의 公式이 發表되고, J.E. Adkins-R.S. Rivlin⁸⁾ (1955)에 依한 一連의 고무力學에 관한 研究中에 cord로 拘束된 고무의 變形理論이 提出되었으며, 또 E. Fiala⁹⁾ (1954)에 依해 spring 달린 ring model에 依한 cornering 特性에 관한 解析理論이 나오는 등, 이 時期에 타이어 構造力學의 序頭를 장식하는 優秀한 研究가 進行되었다. 그 후 cord의 不伸張으로써 고무의 剌性을 考慮한 bias 積層理論이 赤坂¹⁰⁾ (1959)에 依해 展開되어 重雙曲型의 直交異方性板으로 된다는 것이 밝혀졌다. 또 弹性을 가진 cord와 고무 matrix의 複合效果를 考慮한 bias 積層板의 理論이 S.K. Clark¹¹⁾ (1963)에 의해 提示되었으나 이것은 本格的인 積層理論이다.

이와 같이 타이어構造에對해서網目理論, 코오드不伸張理論, 複合積層理論 등으로發展해오고 있으나 점차로 解析的으로는複雜해지므로 컴퓨터의依存度가 점차 높아지고 있는現狀이다.

래디알 타이어에 관한研究는 F. Böhm¹²⁾(1967)에依해서 그斷面形狀理論이提出되어 spring 달린 ring model에 依한 래디알 타이어의振動特性이나 Standing Wave의 解析을 처음으로하게 되었으며, 그 후 Shell 모델에 依한 解析도進行되었다. 現在 래디알 타이어뿐만 아니라, 바이어스 타이어나 belted bias 타이어를 包含하여一般的으로 타이어는 FRR(Fiber Reinforced Rubber)의 積層型複合構造體라는認識이 점차 정착될段階이며 컴퓨터에 依한 타이어性能의 解析까지도 意欲的으로進行되고 있다. 以下 래디알 타이어에 關한構造力學上의成果에 대해서 설명하고자 하다.

2. 래디알 타이어의 斷面形狀

2.1 接觸壓

래디알 타이어뿐 아니라一般的으로 타이어의斷面形狀은 mold形狀과 관련시켜 생각하지 않으면 안 된다. 바이어스 타이어에서는 Netting理論에 依해 얻어지는平衡形狀은內壓에無關한幾何的形狀이므로, 여기에 코오드의彈性的伸張이나熱收縮 등의影響을補正함으로써 mold가設計되어 왔다. 그것은成長후의與壓狀態에서 발생하는形狀誤差를可及的하게하여無益한初期內力を피할려고 하는 생각이다. 그러나逆으로 racing tire의成形에서 볼 수 있는 바와 같이成形 후一定全壓을준狀態에서 tread部를幅넓게 편평하도록 미리 트레드의屈曲剛性을考慮하여平衡形狀과는 다른mold形狀을設計하는方法도쓰고 있다.

즉, 前者は mold內에서의加黃狀態에서 코오드가 거의內壓만을받아 mold壁으로부터의拘束反力を받지 않는경우이며, 後자는오히려 mold壁으로부터拘束反力を故意로利用하고 있는경우라고 할수있다.

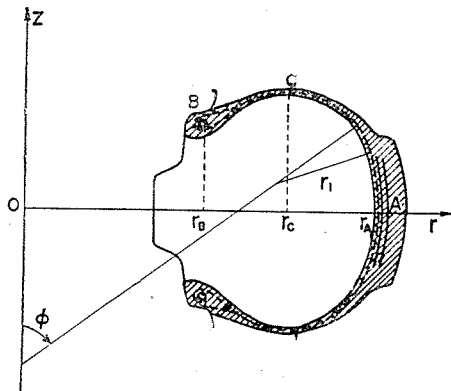
래디알 타이어의成形原理는後者에 속한다.

즉, radial cord는 특히 트레드部에서內壓과 함께 mold로부터의反力を받은狀態에서加黃成形되나, 이形狀은內壓만을받았을때의래디알 코오드의平衡形狀과는明確히다르기때문이다. 여기서, 成形後與壓된state에서 Breaker belt로부터의接觸壓이成形時의mold反力에代替되는센이나그接觸壓은Breaker의彈性變形量에依存한다. 그러므로 래디알 타이어의平衡狀態는 mold形狀과成形후의Breaker剛性에의해좌우되므로그決定은극히어렵다. 그러나便宜的으로는內壓으로假定된接觸壓을同時에받는래디알코오드의平衡形狀으로써일단정할수있다. 단,接觸壓에관한研究는거의하지않고있다.

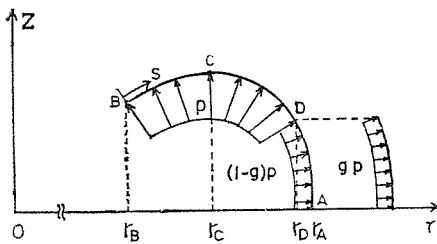
2.2 斷面形狀의 解析

래디알 타이어를포함한一般타이어의斷面形狀에對해서는吉村¹³⁾의詳細한解說이있으므로여기에서는補充記述을하고자한다. 래디알 타이어의斷面形狀에對해서는Netting理論에의한F. Böhm¹²⁾과F. Frank¹⁴⁾의研究가있다. Böhm에의해주어진式은子午線曲率半徑 r_1 이Breaker의바이어스角 β_G , Carcass의코오드角 β_K , Turning point G點, 半徑座標 r_c 및Breaker의內壓分擔率 $g(s)$ 를파라메터로하여 r, ϕ 의函數로表示되어있다(그림1, 2).

한편Frank의式은 $g(s)$ 代身트레드center의曲率半徑 r_{1A} 가파라메터로되어있으므로 $g(s)$ 는自然히다르게된다. 어쨌든 어느것이나數值積分을함으로써 $Z=f(r)$ 形의斷面形狀이된다.



[그림 1] 래디알 타이어의 斷面形



[그림 2] Breaker와 Carcass의 内壓分擔率 g

前者에서는 $g(s)$ 抛物線形으로 가정한 경우이 고, 後者에서는 r_{1A} 를 적당히 가정한 경우의 數值計算結果는 實測斷面形과 잘一致하고 있다. 이들 解析에서는 다음과 같이 코오드 張力은 side wall 部와 트레드部에서 不連續의로 變化되나 成形加工後의 與壓狀態에서는 트레드部의 幅方向 引張剛性은 각으로 子午線方向 張力은 거의 대비할 코오드가 負擔한다고 생각된다. 따라서 近似的으로 코오드 張力은 連續이며 一定하다고 가정할 수 있다.

또, $g(s)$ 는 抛物線보다도 사다리꼴에 가깝다는 것이 Frank의 計算結果로도 알 수 있다. 따라서 近似的으로 $g(s)$ 는 트레드幅에 걸쳐서 一定値를 취한다고 가정된다.

이와 같은 假定을 導入하면 斷面形狀은 다음과 같은 式으로 구할 수 있다¹⁵⁾.

$$(i) r_B \leq r \leq r_D$$

$$z = z_C$$

$$-\int_{r_C}^r \frac{r^2 - r_C^2}{\sqrt{\{(r_D^2 - r_C^2) + \zeta(r_A^2 - r_D^2)\}^2}} dr \quad (1)$$

$$(ii) r_D \leq r \leq r_A$$

$$z = z_D - \int_{r_D}^r [\{(r_D^2 - r_C^2) + \zeta(r^2 - \zeta r_D^2)\} \\ / \sqrt{\{(r_D^2 - r_C^2) + \zeta(r_A^2 - r_D^2)\}^2} \\ - \{(r_D^2 - r_C^2) + \zeta(r^2 - r_D^2)\}^2] dr \quad (2)$$

여기서 $\zeta = 1 - g$ 이다. 다시 윗式은 橢圓積分으로 다음과 같이 表示된다¹⁶⁾. 단, 각각 두 가지 경우로 나누어서 다른 形으로 주어진다.

$$(i) r_B \leq r \leq r_D$$

$$(a) r_E^2 - 2r_C^2 \leq 0 \text{ 인 경우}$$

$$z = r_E E(k_1, \theta) - \frac{r_C^2}{r_E} F(k_1, \theta) \quad (3)$$

여기서

$$\begin{cases} r = r_E \sqrt{1 - k_1^2 \sin^2 \theta}, & k_1 = \sqrt{\frac{2(r_E^2 - r_C^2)}{r_E^2}} \\ r_E^2 = \zeta r_A^2 + (1 - \zeta)r_D^2, & \zeta = 1 - g = \text{const} \end{cases} \dots \dots \dots (4)$$

이다. 또 $F(k, \theta)$, $E(k, \theta)$ 는 각각 제 1종, 제 2종 楕圓積分으로 다음과 같이 주어진다.

$$\begin{cases} F(k, \theta) = \int_0^\theta \frac{d\theta}{\sqrt{1 - k^2 \sin^2 \theta}} \\ E(k, \theta) = \int_0^\theta \sqrt{1 - k^2 \sin^2 \theta} d\theta \end{cases} \dots \dots \dots (5)$$

$$(b) r_E^2 - 2r_C^2 \geq 0 \text{ 인 경우}$$

$$z = \sqrt{2(r_E^2 - r_C^2)} E(k_1', \phi) \\ - \sqrt{\frac{r_E^2 - r_C^2}{2}} F(k_1', \phi) \quad (6)$$

여기서

$$r = r_E \cos \phi, k_1' = \sqrt{\frac{r_E^2}{(2r_E^2 - r_C^2)}} \dots \dots \dots (7)$$

이다.

$$(ii) r_D \leq r \leq r_A$$

$$(a) r_F^2 - 2r_C^2 \leq 0 \text{ 인 경우}$$

$$z = z_D + \frac{r_D^2(1 - \zeta) - r_C^2}{\zeta r_A} \{F(k_2, \theta) \\ - F(k_2, \theta_D)\} + r_A \{E(k_2, \theta) \\ - E(k_2, \theta_D)\} \quad (8)$$

여기서

$$\begin{cases} r = r_A \sqrt{1 - k_2^2 \sin^2 \theta}, & k_2 = \sqrt{\frac{2(r_E^2 - r_C^2)}{\zeta r_A^2}} \\ r_F^2 = \zeta r_A^2 + 2(1 - \zeta)r_D^2 = r_E^2 + (1 - \zeta)r_D^2 \end{cases} \dots \dots \dots (9)$$

이다.

$$(b) r_F^2 - 2r_C^2 \geq 0 \text{ 인 경우}$$

$$z = z_D + \sqrt{\frac{2(r_E^2 - r_C^2)}{\zeta}} \{E(k_2', \phi) \\ - E(k_2', \phi_D)\} - \sqrt{\frac{r_E^2 - r_C^2}{2\zeta}} \{F(k_2', \phi) \\ - F(k_2', \phi_D)\} \quad (10)$$

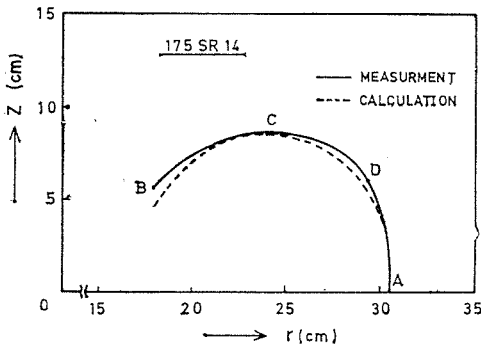
여기서

$$r = r_A \cos \phi, k_2' = \sqrt{\frac{\zeta r_A^2}{2(r_E^2 - r_C^2)}} \dots \dots \dots (11)$$

이다.

그림 3은 이 理論에 依한 斷面의 計算曲線과 實測曲線을 比較한 例를 표시한 것이다.

bead 部와 breaker end 部에서多少 벗어나는 것 같다.



[그림 3] 래디알 타이어(175 SR 14)의 斷面形과 計算曲線과의 比較

한편 코오드 張力 t 는

$$t = \frac{\pi p}{N} [(r_D^2 - r_C^2) + \zeta(r_A^2 - r_D^2)] \quad \dots\dots(12)$$

로 주어진다. N 은 래디알 코오드의 總本數이다. 또 코오드 길이 L 은 B~D 간의 길이 L_1 과 D~A 간의 길이 L_2 의 합으로 表示되나 이 때에도 斷面形狀에 의해 다음과 같이 두 가지 모양으로 주어진다.

$$L_1 = \begin{cases} \frac{r_E^2 - r_C^2}{r_E} \{F(k_1, \theta_B) - F(k_1, \theta_D)\}, & (r_E^2 - 2r_C^2 \leq 0) \\ \sqrt{\frac{r_E^2 - r_C^2}{2}} \{F(k_1', \phi_B) - F(k_1', \phi_D)\}, & (r_E^2 - 2r_C^2 \geq 0) \end{cases} \quad \dots\dots(13)$$

$$L_2 = \begin{cases} \frac{r_E^2 - r_C^2}{\zeta r_A} F(k_2, \theta_D), & (r_F^2 - 2r_C^2 \leq 0) \\ \sqrt{\frac{r_E^2 - r_C^2}{2\zeta}} F(k_2', \phi_D), & (r_F^2 - 2r_C^2 \geq 0) \end{cases} \quad \dots\dots(14)$$

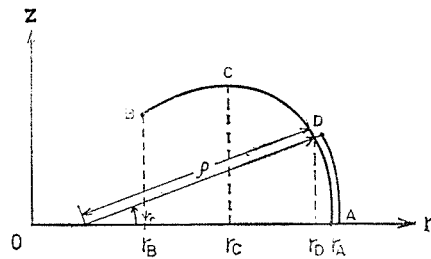
2.3 圓弧形 트레드를 가진 斷面形

여기서 前節과 같이 코오드 張力を 一定하게 하 고 트레드部의 形狀을 便宜的으로 一定曲率半徑 ρ 인 圓弧로 假定함으로써 Side Wall部의 斷面形狀에 對해서 간단한 表式을 나타낼 수 있다¹⁶⁾.

(그림 4) 측,

$$z = z_D + \int_{r_D}^r \frac{r^2 - r_C^2}{\sqrt{(r_D^2 - r_C^2) z \sec^2 \psi_0 - (r^2 - r_C^2)^2}} dr \quad \dots\dots(15)$$

이다. 여기서 $z_D = \rho \sin \psi_0$ 이다. 이 積分形도 다음과 같이 機圓積分으로 두 가지로 表示된다.



[그림 4] 圓弧形트레드를 가진 래디알 타이어의 斷面形

(a) $R^2 - 2r_C^2 \leq 0$ 일 경우

$$z = z_D + \frac{r_C^2}{R} \{F(k, \theta_D) - F(k, \theta)\} - R \{E(k, \theta_D) - E(k, \theta)\} \quad \dots\dots(16)$$

여기서

$$\begin{cases} R^2 = (r_D^2 - r_C^2) \sec \psi_0 - r_C^2 \\ r = R \sqrt{1 - k^2 \sin^2 \theta}, \quad k = \sqrt{\frac{2(R^2 - r_C^2)}{R^2}} \end{cases} \quad \dots\dots(17)$$

이다.

(b) $R^2 - 2r_C^2 \geq 0$ 일 경우

$$z = z_D + \sqrt{\frac{R^2 - r_C^2}{2}} \{F(k', \phi_D) - F(k', \phi)\} - \sqrt{2(R^2 - r_C^2)} \{E(k', \phi_D) - E(k', \phi)\} \quad \dots\dots(18)$$

여기서

$$r = R \cos \phi, \quad k' = \sqrt{\frac{R^2}{2(R^2 - r_C^2)}} \quad \dots\dots(19)$$

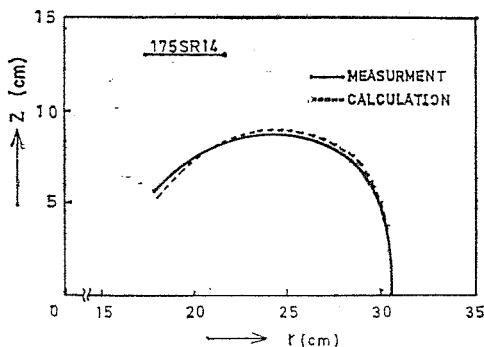
이다. 이 때의 內壓分擔比 ζ 는 一定하지 않고 다음 式으로 나타난다.

$$\zeta = \frac{r_D^2 - r_C^2}{2(\rho - r_A + r_D)} \quad \dots\dots(20)$$

또 코오드 張力 t 는

$$t = \frac{p \cdot \pi}{N} \frac{\rho(r_D^2 - r_C^2)}{\rho - r_A + r_D} \quad \dots\dots(21)$$

이다. 式 (16), (18)에서 주어진 B~D曲線은 D點에서 圓弧形트레드와 共通接線을 가지나 曲率은 不連續이다. 그림 5는 計算曲線과 實測曲線을 比較한 例(175 SR 14)인데 計算曲線이 약간 Side Wall部에서 나오고 bead部에서 안쪽으로 들어간 傾向이 보인다.

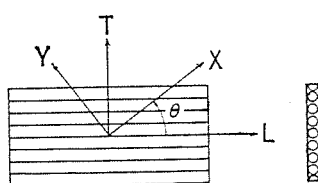


[그림 5] 래디얼 타이어(175 SR 14)의 斷面形과 理論曲線과의 比較

3. Breaker belt의 構造力學

3.1 一方向코오드強化卫早板

래디 알 타이어에 있어서 Breaker belt의 構造特性은 設計上·性能上 극히 重要한 意味를 갖는다. 특히 接觸壓 및 Cornering特性과 密接한 關係를 가지므로 그 力學的 特性을 明確히 해둘 必要가 있다. Breaker belt는 比較的 작은 바이어스角으로 積層된 帶板이나, 그 構造特性은 그 構成層인 Calender, 즉 一方向纖維強化고무層(UDFRR ; Unidirectional Fiber Reinforced Rubber, Layer)의 갖는 性質로써 明確히 해둘 必要가 있다. 그럼 6은 UDFRR層에서, 纖維 方向座標를 L (longitudinal), 直交方向을 T (transverse)라 할 때 直交異方性을 가지므로 獨立된 4個의 彈性定數가 定義된다. 즉, Young 率 E_L , E_T , Poison 比 ν_L , (ν_T) 및 剪斷剛性率 G_{LT} 이다. 단, Maxwell-Betti의 相反定理; $E_L/E_T = \nu_L/\nu_T$ 가 成立함을 알 수 있다. 이제 코오드 및 고무의 體積含有率을 각각 V_f , $V_m (=1-V_f)$, 각각의 等方性彈性定數를 E_f , ν_f , $G_f=E_f/2(1+\nu_f)$ 및 E_m , ν_m , $G_m=E_m/2(1+\nu_m)$ 라 하면 複合理論으



[그림 6] 一方向코오드强化卫具板과 廉標系

로부터 다음과 같은 關係를 알 수 있다.

$$\left\{ \begin{array}{l} E_L = E_f V_f + E_m V_m \\ \frac{1}{E_T} = \frac{V_f}{E_f} + \frac{V_m}{E_m} - V_f V_m \frac{\left(\frac{v_m}{E_m} - \frac{v_f}{E_f} \right)^2}{\frac{V_f}{E_m} + \frac{V_m}{E_f}} \\ v_L = v_f V_f + v_m V_m, \quad v_T = v_L \frac{E_T}{E_L} \\ \frac{1}{G_{LT}} = \frac{V_f}{G_f} + \frac{V_m}{G_m} \end{array} \right. \dots \dots \dots (22)$$

특히 FRR에서는 $E_f \gg E_m$, $\nu_m \doteq 1/2$ 이므로 윗식은 다음과 같이近似된다.

$$\left\{ \begin{array}{l} E_L \approx E_f V_f \gg E_T \\ E_T \approx \frac{E_m}{V_m} \cdot \frac{1}{(1 - \nu_m^2)} \approx \frac{4}{3} \cdot \frac{E_m}{V_m} \\ \nu_T \approx 0 \\ G_{LT} \approx \frac{G_m}{V_m} = E_T \cdot \frac{1 - \nu_m}{2} \approx \frac{E_T}{4} \end{array} \right. \dots \dots \dots \quad (23)$$

이와 같은 近似化는 고무를 매트릭스로 하는 複合材料特有의 것으로,例전대 플라스틱 매트릭스에 對해서는 成立하지 않는다는 것을 注意해야 한다.

일반적으로直交異方性의 Hooke 法則은 다음과 같다.

$$\begin{aligned} \left\{ \begin{array}{l} \sigma_L \\ \sigma_T \\ \tau_{LT} \end{array} \right\} &= \left[\begin{array}{c} E_L/(1-\nu_L \nu_T), \nu_L E_T/(1-\nu_L \nu_T), 0 \\ \nu_T E_L/(1-\nu_L \nu_T), E_T/(1-\nu_L \nu_T), 0 \\ 0 \end{array} \right] \\ &\quad \times \left\{ \begin{array}{l} \varepsilon_L \\ \varepsilon_T \\ \gamma_{LT} \end{array} \right\} \dots \dots \dots \quad (24) \end{aligned}$$

이제 그림 6 과 같이 θ 만큼 회전된直交座標系
 $O-x, y$ 에 대한 Hooke 法則은 다음과 같이 된다.

$$\begin{aligned} \left\{ \begin{array}{l} \sigma_x \\ \sigma_y \\ \tau_{xy} \end{array} \right\} &= \begin{bmatrix} E_{xx} & E_{xy} & E_{xs} \\ E_{xy} & E_{yy} & E_{ys} \\ E_{xs} & E_{ys} & E_{ss} \end{bmatrix} \left\{ \begin{array}{l} \epsilon_x \\ \epsilon_y \\ \gamma_{xy} \end{array} \right\}; \\ \{\sigma_x\} &= [E] \{\epsilon_x\} \quad \dots \dots \dots \quad (25) \end{aligned}$$

혹은

여기서 $[E]$, $[C]$ 는 다같이 对稱 matrix로서

각각 剛性 matrix 및 커플링 matrix를 가지고 하여 서로 逆matrix關係에 있다. 또 그들의 element는 $E_L, E_r, \nu_L, \nu_T, G_{LT}$ 및 회전각 θ 의函數로 주어져 있다¹⁷⁾. 특히 고무 matrix의 경우, 式(23)에 의해 簡略化하면 다음과 같이 近似化된다¹⁸⁾.

$$\begin{cases} E_{xx} \approx E_T + E_L \cos^2 \theta \\ E_{yy} \approx E_T + E_L \sin^2 \theta \\ E_{ss} \approx E_T / 4 + E_L \sin^2 \theta \cos^2 \theta \\ E_{xy} \approx E_T / 2 + E_L \sin^2 \theta \cos^2 \theta \\ E_{xs} \approx -E_L \sin \theta \cos^3 \theta \\ E_{ys} \approx -E_L \sin^3 \theta \cos \theta \end{cases} \quad \dots \dots \dots (27)$$

이제, x 軸方向의 一軸引張 ($\sigma_x \neq 0, \sigma_y = \tau_{xy} = 0$) 狀態를 생각하면 式(26)에서 軸方向伸張 ϵ_x, y 方向收縮 ϵ_y 외에 다음과 같은剪斷變形이 일어나게 된다.

$$\gamma_{xy} = C_{xs} \sigma_x \quad \dots \dots \dots (28)$$

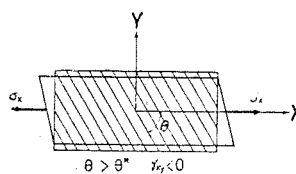
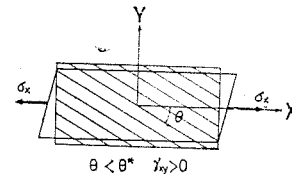
이와 같은 現象을 面內 Coupling이라고 하거나 그의 基인 C_{xs} 는 式(23)의 近似式을 이용하면 다음과 같이 簡單化된다.

$$\begin{aligned} C_{xs} &= -2 \cos^2 \theta \sin \theta \frac{1 + \nu_L}{E_L} + 2 \cos \theta \sin^3 \theta \frac{1 + \nu_T}{E_T} \\ &\quad + \sin \theta \cos \theta (\cos^2 \theta - \sin^2 \theta) \frac{1}{G_{LT}} \\ &\approx \frac{2 \sin \theta \cos^3 \theta}{E_T} (2 - \tan^2 \theta) \end{aligned} \quad \dots \dots \dots (29)$$

즉, Coupling變形은 $\theta = 0, \pi/2$ 외에, 그 中間의 바이어스角 θ^* 에서 소멸된다.

$$\theta^* \equiv \tan^{-1} \sqrt{2} = 54.7^\circ \quad \dots \dots \dots (30)$$

그림 7은 $\theta \geq \theta^*$ 에 对한 Coupling變形을 표시

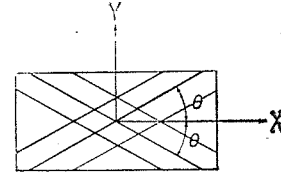


[그림 7] 一軸引張에 의한 커플링剪斷變形 γ_{xy} 와 코오드方位角 θ 의關係

한 것이다. 이와 같은 Coupling變形의 逆轉은 UDFRR特有的現象이다.

3.2 바이어스 積層板

3.2.1 弹性定數 그림 8과 같이 UDFRR層을 2層バイ어스로 積層한 板도 역시 直交異方性이 되나 그 弹性定數는 積層理論에 依해 구한다. 즉 1層, 2層의 區別을 ^{(1), (2)}로 表示하면 式(25)에서



[그림 8] Bias角 θ 의 積層板

$$\begin{aligned} \{\sigma_x^{(1)}\} &= [E(-\theta)] \{\epsilon_x^{(1)}\}, \quad \{\sigma_x^{(2)}\} \\ &= [E(\theta)] \{\epsilon_x^{(2)}\} \end{aligned} \quad \dots \dots \dots (31)$$

으로 되나 層間의 미끄름을 생각지 않는다면 $\{\epsilon_x^{(1)}\} = \{\epsilon_x^{(2)}\} \equiv \{\epsilon_x\}$ 로 된다. 平均應力; $\{\sigma_x\} = (\{\sigma_x^{(1)}\} + \{\sigma_x^{(2)}\})/2$ 에 對해서 Hooke 法則은

$$\begin{aligned} \{\sigma_x\} &= \frac{1}{2} \{[E(-\theta)] + [E(\theta)]\} \{\epsilon_x\} \\ &\equiv [E^*(\theta)] \{\epsilon_x\} \end{aligned} \quad \dots \dots \dots (32)$$

로 된다. 여기서 刚性 matrix는 다음과 같은 對稱 matrix로 된다.

$$[E^*(\theta)] = \begin{bmatrix} E_{xx}^* & E_{xy}^* & 0 \\ E_{xy}^* & E_{yy}^* & 0 \\ 0 & 0 & E_{ss}^* \end{bmatrix} \quad \dots \dots \dots (33)$$

이리하여 弹性定數는 다음과 같은 式으로 주어진다.

$$\begin{cases} E_x = E_{xx}^* - \frac{(E_{xy}^*)^2}{E_{yy}^*}, \quad E_y = E_{yy}^* - \frac{(E_{xy}^*)^2}{E_{xx}^*} \\ \nu_x = \frac{E_{xy}^*}{E_{yy}^*}, \quad \nu_y = -\frac{E_{xy}^*}{E_{xx}^*}, \quad G_{xy} = E_{ss}^* \end{cases} \quad \dots \dots \dots (34)$$

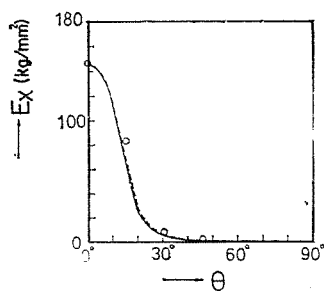
특히 고무 matrix의 경우, 式(27)의 近似表式을 이용하면 다음과 같은 近似式을 얻을 수 있다¹⁸⁾.

$$\begin{cases} E_x = \frac{E_L E_T (\sin^4 \theta - \sin^2 \theta \cos^2 \theta + \cos^4 \theta) + \frac{3}{4} E_T^2}{E_L \sin^4 \theta} \\ E_y = \frac{E_L E_T (\sin^4 \theta - \sin^2 \theta \cos^2 \theta + \cos^4 \theta) + \frac{3}{4} E_T^2}{E_L \cos^4 \theta} \end{cases}$$

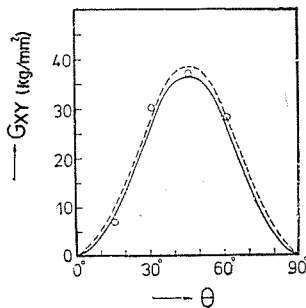
$$\left. \begin{aligned} \nu_x &= \frac{E_L \sin^2 \theta \cos^2 \theta + \frac{1}{2} E_T}{E_L \sin^4 \theta + E_T} \\ \nu_y &= \frac{E_L \sin^2 \theta \cos^2 \theta + \frac{1}{2} E_T}{E_L \cos^4 \theta + E_T} \\ G_{xy} &= E_L \sin^2 \theta \cos^2 \theta + \frac{1}{4} E_T \cos^2 2\theta \end{aligned} \right. \quad \dots \quad (35)$$

式(35)의 表式 사이에는 Maxwell-Betti의 相反性定理; $E_x/E_y = \nu_x/\nu_y$ 가 成立함을 알 수 있다.

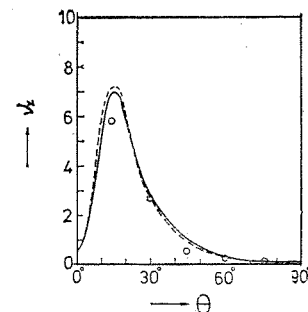
數值例($E_L = 147 \text{ kg/mm}^2$, $E_T = 0.7 \text{ kg/mm}^2$)에 对한 弹性定數 E_x, ν_x, G_{xy} 의 바이어스角 θ 에 의 한 變化를 그림 9, 10, 11에 表示하였다. 그림 중의 波線은 염밀한 理論曲線, ○표는 實驗值로서 다음과 같이 S.K. Clark¹¹⁾에 의해 구해진 것이다. 그림 중의 實驗線은 式(35)에서 計算된 近似曲線이다. 잘一致하고 있음을 알 수 있다.



〔그림 9〕 바이어스 積層고무板의 Young率 E_x 와 바이어스角 θ 와의 關係 [Ref. (11) : Clark]



〔그림 10〕 바이어스 積層고무板의 剪斷剛性率 G_{xy} 와 바이어스角 θ 와의 關係 [Ref. (11) : Clark]



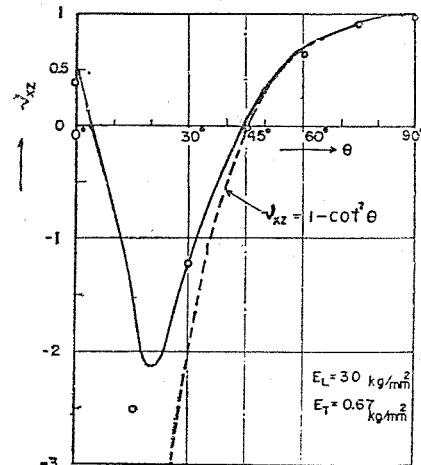
〔그림 11〕 바이어스 積層고무板의 Poisson比 ν_x 와 바이어스角 θ 와의 關係 [Ref. (11) : Clark]

3.2.2 두께 變化 바이어스 積層板에서는 弹性軸方向으로 均一한 引張을 받게 되면 바이어스角 θ 가 45° 以下の 경우, 두께가 두꺼워지는 現象이 일어난다. 이것은 두께方向 Poisson比 ν_{xz} 가 (-)임을 뜻한다. 이 때 바이어스 積層板에 있어서는 고무 matrix 自體가 非壓縮性이고, 또 變形機構가 펜타그레프效果에 의해 코오드의伸縮變形이 極히 작기 때문에 總體的으로 體積變化가 거의 없다고 볼 수 있다. 따라서 $\varepsilon_x + \varepsilon_y + \varepsilon_z = 0$ 으로 쓸 수 있다. 이와 같이 하여

$$\nu_{xz} = -\frac{\varepsilon_z}{\varepsilon_x} = 1 + \frac{\varepsilon_y}{\varepsilon_x} = 1 - \nu_x \quad \dots \quad (36)$$

을 구한다. 式(35)를 고려하여

$$\nu_{xz} = 1 - \frac{E_L \sin^2 \theta \cos^2 \theta + E_T / 2}{E_L \sin^4 \theta + E_T} \approx 1 - \cot^2 \theta \quad \dots \quad (37)$$



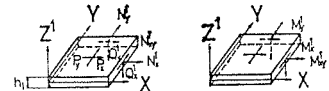
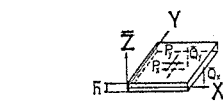
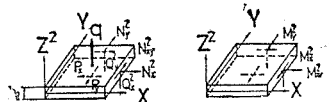
〔그림 12〕 板두께方向 Poisson比 ν_{xz} 와 바이어스角 θ 와의 關係

으로 表示된다¹⁹⁾. 윗식에서 $\theta=45^\circ$ 에서 $v_{xz}=0$ 임을 알 수 있다. 그림 12는 v_{xz} 의 θ 에 의한 變化를 나타낸 것으로 實驗結果와 잘一致한다. 바이어스角 $\theta=20^\circ$ 부근에서는 현저한 두께增加, 즉 構成層間의 離間現象에 주의하여야 한다.

3.3 바이어스積層帶板의 基礎方程式

여기서 接着層에 의한 層間剪斷變形을 考慮한 바이어스積層板의一般的의 基礎方程式을 구해 두고자 한다. 단, 接着層은 薄은 고무層으로 引張剛性은 無視할 수 있는 것으로 보고, 단지剪斷變形에 對한 刚性만을 考慮한다. 그림 13에 表示된 構成層($i=1, 2$)에 對한 平衡條件式은 다음과 같이 쓸 수 있다²⁰⁾.

$$\left\{ \begin{array}{l} \frac{\partial N_x^{(i)}}{\partial x} + \frac{\partial N_{xy}^{(i)}}{\partial y} = (-1)^i p_x \\ \frac{\partial N_{xy}^{(i)}}{\partial x} + \frac{\partial N_y^{(i)}}{\partial y} = (-1)^i p_y \\ \frac{\partial}{\partial x} (Q_x^{(1)} + Q_x^{(2)} + \bar{Q}_x) + \frac{\partial}{\partial y} (Q_y^{(1)} + Q_y^{(2)} + \bar{Q}_y) = q \\ \frac{\partial M_x^{(i)}}{\partial x} + \frac{\partial M_{xy}^{(i)}}{\partial y} = Q_x^{(i)} + p_x \frac{h}{2} \\ \frac{\partial M_{xy}^{(i)}}{\partial x} + \frac{\partial M_y^{(i)}}{\partial y} = Q_y^{(i)} + p_y \frac{h}{2} \\ \bar{Q}_x = -p_x \bar{h}, \quad \bar{Q}_y = -p_y \bar{h} \end{array} \right. \quad (38)$$



[그림 13] 2層積層板에 作用하는 合應力, Moment 및 外力

여기서 p_x, p_y 는 각각 x, y 方向의 層間剪斷應力이다. 膜力 N 과 Moment M 은 다음 式으로 주어진다.

$$\left\{ \begin{array}{l} (N_x^{(i)}, N_y^{(i)}, N_{xy}^{(i)}) \\ = \int_{-h/2}^{h/2} (\sigma_x^{(i)}, \sigma_y^{(i)}, \tau_{xy}^{(i)}) dz^{(i)} \\ (M_x^{(i)}, M_y^{(i)}, M_{xy}^{(i)}) \\ = - \int_{-h/2}^{h/2} (\sigma_x^{(i)}, \sigma_y^{(i)}, \tau_{xy}^{(i)}) z^{(i)} dz^{(i)} \end{array} \right. \quad (39)$$

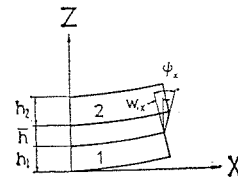
각 構成層에 對한 Hooke 法則은 각 中央面의 x, y 方向의 變位成分 $u^{(i)}, v^{(i)}$ 와 휨(굽힘) w 에 의해 다음과 같이 쓸 수 있다.

$$\left\{ \begin{array}{l} \begin{array}{|c|c|c|} \hline \sigma_x^{(i)} & E_{xx}^{(i)} & E_{xy}^{(i)} & E_{xs}^{(i)} \\ \hline \sigma_y^{(i)} & E_{xy}^{(i)} & E_{yy}^{(i)} & E_{ys}^{(i)} \\ \hline \tau_{xy}^{(i)} & E_{xs}^{(i)} & E_{ys}^{(i)} & E_{ss}^{(i)} \\ \hline \end{array} \\ \times \begin{array}{|c|} \hline u_x^{(i)} - z^{(i)} w_{xx} \\ \hline v_y^{(i)} - z^{(i)} w_{yy} \\ \hline u_y^{(i)} + v_x^{(i)} - 2z^{(i)} w_{xy} \\ \hline \end{array} \end{array} \right\} \quad (40)$$

또 層間剪斷應力에 對해서는

$$\left\{ \begin{array}{l} p_x = G_m \phi_x = \frac{G_m}{h} (u^{(2)} - u^{(1)} + H w_{xx}) \\ p_y = G_m \phi_y = \frac{G_m}{h} (v^{(2)} - v^{(1)} + H w_{yy}) \end{array} \right. \quad (41)$$

이다. 여기서 ϕ_x 와 ϕ_y 는 接着層의剪斷變形이다(그림 14)). 또 $H \equiv h + \bar{h}$ 이다. 이와 같이 하여 變位成分에 對해 다음과 같은 聯立偏微分方程式을 얻을 수 있다.



[그림 14] 接着層의剪斷變形 ϕ_x

$$\left\{ \begin{array}{l} \{ A_{xx}^{(i)} u_{xx}^{(i)} + 2A_{xs}^{(i)} u_{xy}^{(i)} + A_{ss}^{(i)} u_{yy}^{(i)} \} \\ + \{ A_{xs}^{(i)} v_{xx}^{(i)} + (A_{xy}^{(i)} + A_{ss}^{(i)}) v_{xy}^{(i)} \\ + A_{ys}^{(i)} v_{yy}^{(i)} \} = (-1)^i k (u^{(2)} - u^{(1)} \\ + H w_{xx}) \\ \{ A_{xs}^{(i)} u_{xx}^{(i)} + (A_{xy}^{(i)} + A_{ss}^{(i)}) u_{xy}^{(i)} \\ + A_{ys}^{(i)} u_{yy}^{(i)} \} + \{ A_{ss}^{(i)} v_{xx}^{(i)} \\ + 2A_{xs}^{(i)} v_{xy}^{(i)} + A_{yy}^{(i)} v_{yy}^{(i)} \} \\ = (-1)^i k (v^{(2)} - v^{(1)} + H w_{yy}) \\ D_{xx} w_{xxxx} + 4D_{xs} w_{xxx} + 2(D_{xy} + 2D_{ss}) w_{xxy} \\ + 4D_{ys} w_{xyyy} + D_{yy} w_{yyyy} - kH \{ u_{xx}^{(2)} \\ - u_{xx}^{(1)} + v_{yy}^{(2)} - v_{yy}^{(1)} + H(w_{xx} + w_{yy}) \} \\ = q \end{array} \right. \quad (42)$$

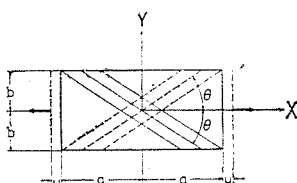
여기서

$$\left\{ \begin{array}{l} k = \frac{G_{rs}}{\bar{h}}, \quad A_{\alpha\beta}^{(i)} = h E_{\alpha\beta}^{(i)}, \quad D_{\alpha\beta} \\ = \frac{h^3}{12} \sum_{i=1}^2 E_{\alpha\beta}^{(i)} (\alpha, \beta = x, y, s) \end{array} \right. \quad (43)$$

이다.

3.4 바이어스 積層帶板의 引張特性

그림 15에 表示된 바와 같이 有限의 幅을 가진 바이어스 積層帶板이 一定變形 $\varepsilon_0 = u_0/a$ 를 가지도록 一軸引張을 받을 때의 應力解析²¹⁾에 대



〔그림 15〕 一軸引張을 받는 바이어스 積層帶板

해서 생각한다. 단, 便宜上 對稱積層構造로 取扱하기로 한다. 基礎方程式(42)에 있어서 $w=0$ 으로 놓고 $u^{(1)}, u^{(2)}, v^{(1)}, v^{(2)}$ 에 關한 4개의 方程式을 구하여 이것을 $y=\pm b$ 에 있어서의 自由端의 境界條件, 構成層의 剛性 matrix의 對稱 및 逆對稱條件, 즉

$$\left\{ \begin{array}{l} A_{xx}^{(2)} = A_{xx}^{(1)} \equiv A_{xx}, \quad A_{yy}^{(2)} = A_{yy}^{(1)} \equiv A_{yy}, \\ A_{xy}^{(2)} = A_{xy}^{(1)} \equiv A_{xy}, \quad -A_{xs}^{(2)} = A_{xs}^{(1)} \equiv A_{xs}, \\ -A_{ys}^{(2)} = A_{ys}^{(1)} \equiv A_{ys}, \quad A_{ss}^{(2)} = A_{ss}^{(1)} \equiv A_{ss} \end{array} \right. \quad (44)$$

을 考慮함으로써 다음 結果를 얻는다.

$$\begin{aligned} \frac{N_x^{(1)}}{\varepsilon_0} &= \frac{N_x^{(2)}}{\varepsilon_0} = A_{xx} - \frac{A_{xy}^2}{A_{yy}} \\ &\quad - \frac{(A_{ys}A_{xy} - A_{yy}A_{xs})^2}{A_{yy}(A_{yy}A_{ss} - A_{ys}^2)} \frac{ch(\sqrt{\rho}y)}{ch(\sqrt{\rho}b)} \\ \frac{p_x}{\varepsilon_0} &= \frac{2k}{\sqrt{\rho}} \frac{A_{xs}A_{yy} - A_{ys}A_{xy}}{A_{yy}A_{ss} - A_{ys}^2} \frac{sh(\sqrt{\rho}y)}{ch(\sqrt{\rho}b)} \end{aligned} \quad (45)$$

여기서

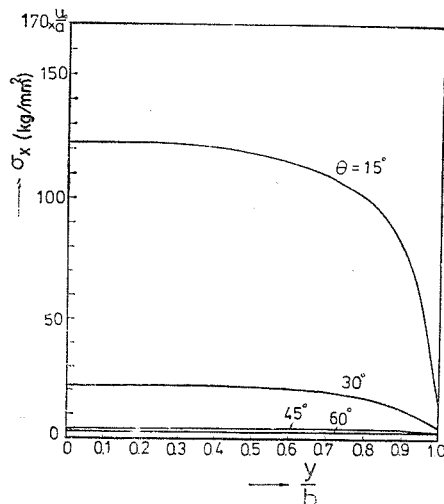
$$\rho \equiv \frac{2kA_{yy}}{A_{yy}A_{ss} - A_{ys}^2} \quad (46)$$

이다. 그림 16, 17에 數值例 ($E_L = 200 \text{ kg/mm}^2$, $E_T = 4 \text{ kg/mm}^2$, $\nu_L = 0.5$, $\nu_T = 0.01$, $G_{LT} = 1 \text{ kg/mm}^2$, $G_{rs} = 0.5 \text{ kg/mm}^2$, $b = 50 \text{ mm}$, $h = 5 \text{ mm}$, $\bar{h} = 1 \text{ mm}$)에 대한 計算結果를 表示하였다. 軸方

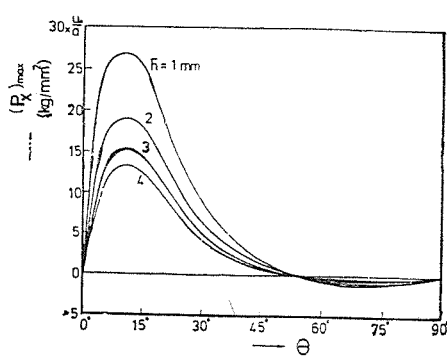
向引張膜力 N_x 의 分布가 均一하지 않고 自由端附近에서 심한 “下落”을 나타낸다. 또 層間剪斷應力 p_x 는 自由端에서 最大이며 中央部로 갈수록 急速히 減衰한다. 自由端의 $p_{x,\max}$ 은 바이어스角 $\theta = \theta^* = 54.7^\circ$ 부근에서 0으로 되며, 그것을 境界로 符號가 逆轉됨을 알 수 있다. 이것은 式(45)의 p_x 의 表式에서 그 分子의 因數가 式(27)에 依해서

$$\begin{aligned} A_{yy}A_{xs} - A_{ys}A_{xy} \\ \approx \frac{h^2}{2} E_T E_L \sin \theta \cos^3 \theta (2 - \tan^2 \theta) \end{aligned} \quad (47)$$

과 近似하다는 사실로서도 알 수 있다.



〔그림 16〕 垂直應力 σ_x 의 分布($h=1 \text{ mm}$)



〔그림 17〕 最大層間剪斷應力 $p_{x,\max}$ 과 바이어스角 θ 와의 關係

3.5 바이어스積層帶板의 引張에 의한 비틀림 變形

對稱構造가 아니라 單純한 2層積層을 생각하면 板두께方向으로 構造逆對稱性을 가지므로 引張에 의한 비틀림變形이 계속 일어난다²⁰⁾. 이 때의 構成層의 變位形을 다음과 같이 假定할 수 있다.

$$\begin{cases} u^{(1)} = U(y) + u(y)x, \quad v^{(1)} = V(y) + v(y)x \\ u^{(2)} = -U(y) + u(y)x, \quad v^{(2)} = V(y) - v(y)x \\ w = \Omega xy \end{cases} \quad \dots \dots \dots (48)$$

여기서 Ω 는 비틀림率을 의미한다. 式(48)을 基礎式(42)에 代入하고 式(44)를 考慮함으로써 다음과 같은 方程式系를 얻을 수 있다.

$$\begin{cases} A_{ss} \frac{d^2u}{dy^2} + A_{ys} \frac{d^2v}{dy^2} = 0, \quad \frac{dv}{dy} = 0 \\ 2A_{xs} \frac{du}{dy} + (A_{xy} + A_{ss}) \frac{dv}{dy} + A_{ss} \frac{d^2U}{dy^2} \\ + A_{ys} \frac{d^2V}{dy^2} = k(2U - \Omega Hy) \\ (A_{xy} + A_{ss}) \frac{du}{dy} + 2A_{ys} \frac{dv}{dy} + A_{ys} \frac{d^2U}{dy^2} \\ + A_{yy} \frac{d^2V}{dy^2} = 0 \\ A_{ys} \frac{d^2u}{dy^2} + A_{yy} \frac{d^2v}{dy^2} = k(2v - \Omega H) \end{cases} \quad \dots \dots \dots (49)$$

이들 方程式은 軸方向의 均一한 變形條件, $y = \pm b$ 에 있어서의 自由端條件 및 다음과 같은 任意의 斷面에서 비틀림 moment가 0인 條件;

$$\int_{-b}^b [2M_{xy}^{(1)} + HN_{xy}^{(1)} - (\bar{Q}_x + 2Q_x^{(1)})y] dy = 0 \quad \dots \dots \dots (50)$$

下에서 容易하게 풀이될 수 있으며, 비틀림率 Ω 및 層間剪斷應力 p_x 에 對해서 각각 다음과 같은 結果를 얻을 수 있다.

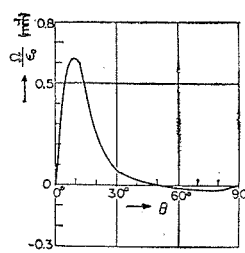
$$\frac{\Omega}{\epsilon_0} = -\frac{H(A_{ss}A_{yy} - A_{ys}A_{xy})(1 - th(\sqrt{\rho}b)/\sqrt{\rho}b)}{2D_{ss}A_{yy} + H^2(A_{ss}A_{yy} - A_{ys}^2)(1 - th(\sqrt{\rho}b)/\sqrt{\rho}b)} \quad \dots \dots \dots (51)$$

$$\begin{aligned} \frac{p_x}{\epsilon_0} &= \frac{2k}{\sqrt{\rho}} \cdot \frac{(A_{ss}A_{yy} - A_{xy}A_{ys})}{(A_{ss}A_{yy} - A_{ys}^2)} \\ &\times \frac{2D_{ss}A_{yy}sh(\sqrt{\rho}y)/ch(\sqrt{\rho}b)}{[2D_{ss}A_{yy} + H^2(A_{ss}A_{yy} - A_{ys}^2)(1 - th(\sqrt{\rho}b)/\sqrt{\rho}b)]} \end{aligned} \quad \dots \dots \dots (52)$$

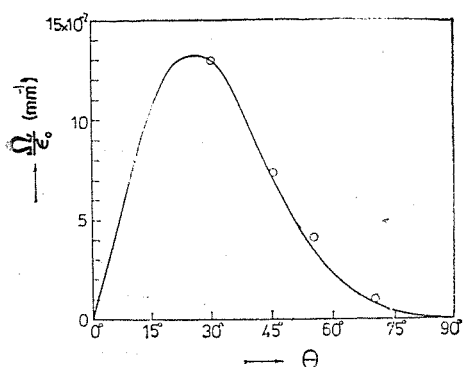
式(52)를 式(45)와 比較하여 다음 條件;

$$\begin{aligned} A_{ss}A_{yy} - A_{ys}^2 \\ \approx \frac{h^2}{4} E_T \{E_T + E_L \sin^2 \theta (1 + 3 \cos^2 \theta)\} > 0 \end{aligned} \quad \dots \dots \dots (53)$$

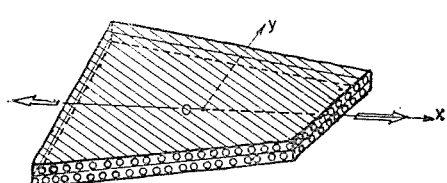
을 考慮하면 對稱積層의 경우에 比해서 p_x 가 작음을 알 수 있다. 또 비틀림率 Ω 나 最大層間剪斷應力 $p_{x,\max}$ 는 分子에 因數($A_{ss}A_{yy} - A_{xy}A_{ys}$)를 갖고 있으므로 式(47)을 고려하면 이들은 다음과 같이 $\theta = \theta^* = 54.7^\circ$ 에서 消滅되는 동시에 그것을 境界로 符號가 逆轉된다. 그림 18은 FRR의 數值例($E_L = 6,000 \text{kg/mm}^2$, $E_T = 12 \text{kg/mm}^2$, $G_m = 0.5 \text{kg/mm}^2$, $h = 1.5 \text{mm}$, $\bar{h} = 7 \text{mm}$, $b = 50 \text{mm}$)에 對한 Ω 와 θ 의 關係를 나타낸 것이다. 그림 19는 FRP의 數值例($E_L = 4,000 \text{kg/mm}^2$, $E_T = 980 \text{kg/mm}^2$, $G_{LT} = 450 \text{kg/mm}^2$, $\nu_L = 0.2$, $\nu_T = 0.049$, $G_m = 0.5 \text{kg/mm}^2$, $b = 30 \text{mm}$, $h = 0.25 \text{mm}$, $\bar{h} = 6 \text{mm}$)에 對한 $\Omega \sim \theta$ 의 關係를 表示한 것으로 實驗值와 잘一致하고 있다. 단, 이 때에는 Ω 의 符號逆轉이 없다는 것을 주의해야 한다. 그림 20은 構成層의 纖維方向($\theta < \theta^*$)과 비틀림變形과의 關係를 그린 것이다. 또 引張에 따른 비틀림變形에 對해서는 코오드의 方位角이 0, $\pm \theta$ 의 3層積層帶板에 대해서도 解析²²⁾되고 있다는 것을 附記해 둔다.



[그림 18] 비틀림率 Ω 와 바이어스角 θ 와의 關係(1)



〔그림 19〕 비틀림率 Ω 와 바이어스角 θ 와의
關係(2)

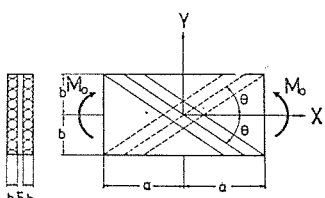


〔그림 20〕 바이어스積層板의 커플링 비틀림變形

3.6 바이어스積層帶板의 均一面內의 굽힘

그림 21과 같이 바이어스積層帶板에 均一한 面內의 굽힘 moment M_0 을 주었을 때의 構成層의 變形²³⁾에 對해서는 다음과 같이 假定할 수 있다.

$$\begin{cases} u^{(1)} = U(y) + u(y)x, \quad v^{(1)} = V(y) + v(y)x^2 \\ u^{(2)} = -U(y) + u(y)x, \quad v^{(2)} = V(y) + v(y)x^2 \\ w = 0 \end{cases} \quad \dots \dots \dots (54)$$



〔그림 21〕 均一한 굽힘 moment M_0 을 받는 bias
積層帶板

이것을 基礎方程式 (42)에 代入하고 式(44)를 연관시키면 다음과 같은 方程式系를 얻을 수 있다.

$$\left\{ \begin{array}{l} 2A_{xs}\frac{du}{dy} + 2A_{xs}v + A_{ss}\frac{d^2U}{dy^2} + A_{ys}\frac{d^2V}{dy^2} \\ \quad = 2kU \\ (A_{xy} + A_{ss})\frac{du}{dy} + 2A_{ss}v + A_{ys}\frac{d^2U}{dy^2} \\ \quad + A_{yy}\frac{d^2V}{dy^2} = 0 \\ A_{ss}\frac{d^2u}{dy^2} + 2(A_{xy} + A_{ss})\frac{dv}{dy} = 0 \\ A_{ys}\frac{d^2u}{dy^2} + 4A_{ys}\frac{dv}{dy} = 0, \quad \frac{d^2v}{dy^2} = 0 \end{array} \right. \dots \dots \dots (55)$$

이들 方程式은 軸方向의 變形이 均一하다는 것, $y = \pm b$ 에 있어서의 自由端條件 및 다음의 端末條件;

$$\left\{ \begin{array}{l} \int_{-b}^b (N_x^{(1)} + N_x^{(2)}) dy = 0 \\ \int_{-b}^b (N_x^{(1)} + N_x^{(2)}) y dy = M_0 \end{array} \right. \dots \dots \dots (56)$$

下에서 쉽게 풀려 다음과 같은 結果를 얻을 수 있다. 즉, x 軸方向層間剪斷應力 p_x 는

$$p_x = -\frac{6kM_0}{B} A_{yy} (A_{xy}A_{ys} - A_{xs}A_{yy}) \{ \sqrt{\rho} bch(\sqrt{\rho}y) - sh(\sqrt{\rho}b) \} \dots \dots \dots (57)$$

로 되며, 굽힘 膜力은

$$\begin{aligned} N_x^{(2)} &= N_x^{(1)} \\ &= -\frac{6kM_0}{B} A_{yy} \left\{ \frac{A_{xs}A_{yy} - A_{xy}A_{ys}}{A_{ss}A_{yy} - A_{ys}^2} \right. \\ &\quad \left. b sh(\sqrt{\rho}y) - (A_{xx}A_{yy} - A_{xy}^2) sh(\sqrt{\rho}b) \cdot y \right\} \end{aligned} \dots \dots \dots (58)$$

으로 된다. 여기서

$$B = 12b(A_{xy}A_{ys} - A_{xs}A_{yy})^2 \{ \sqrt{\rho} bch(\sqrt{\rho}b) - sh(\sqrt{\rho}b) \} - 8kb^3A_{yy}(A_{xx}A_{yy} - A_{xy}^2)sh(\sqrt{\rho}b) \dots \dots \dots (59)$$

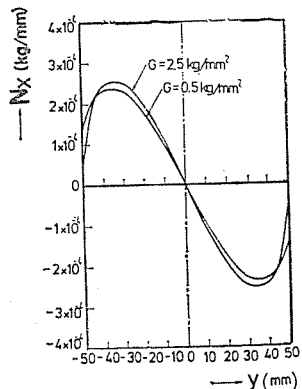
이다.

그런데, moment M_0 와 x 軸上에서의 曲率 $\frac{d^2v}{dx^2}$ 의 比로써 굽힘剛性 D 를 다음과 같이 구할 수 있다.

$$D = \frac{-B}{6kA_{yy}^2 sh(\sqrt{\rho}b)} \dots \dots \dots (60)$$

數值例($E_L = 6,000 \text{kg/mm}^2$, $E_T = 12 \text{kg/mm}^2$, $G_{LT} = 3 \text{kg/mm}^2$, $G_m = 0.5 \text{kg/mm}^2$, $h = 1.5 \text{mm}$, $b = 7 \text{mm}$, $a = 50 \text{mm}$)에 對한 굽힘膜力分布를 그

림 22에 表示하였다. 이에 따르면, 거의 S字形分布에 近似하므로 굽힘剛性의 低下가豫想된다.



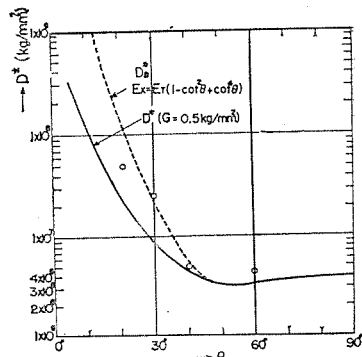
[그림 22] 굽힘應力分布($M_0=1\text{kg}\cdot\text{mm}$, $\theta=40^\circ$)

式(57)에서 層間剪斷應力 p_x 는 역시 $\theta=\theta^*=54.7^\circ$ 에서 消滅된다. 이 때 굽힘 膜力分布는 線形으로 되어 初等理論과 一致하게 된다. 式(60)은 다음과 같이 된다.

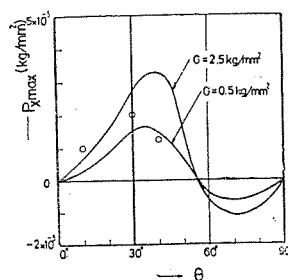
$$D_B = E_T (1 - \cot^2 \theta + \cot^4 \theta) \frac{2h(2b)^3}{12} \quad \dots \dots \dots (61)$$

그림 23은 上記數值例에 對한 굽힘剛性 D 의 바이어스角 θ 에 의한 變化를 나타낸 것이다, 여기서 縱軸 D^* 는 接着層의 굽힘剛性을 D 에 加算한 값 ($h=7\text{mm}$ 로 두껍게 잡고 있으므로)을 의미한다. $0 < \theta < \theta^*=54.7^\circ$ 의 범위에서는 예상되는 바와 같이 剛性低下가 현저히 나타난다.

그림 24는 最大層間剪斷應力 $p_{x,\max}$ 와 바이어



[그림 23] 面內굽힘剛性 D^* 와 바이어스角 θ 와의關係



[그림 24] 最大層間剪斷應力 $p_{x,\max}$ 와 바이어스角 θ 와의關係

스角 θ 와의 관계를 나타낸 것이다, ○표는 格子膜法에 의해 测定한 實驗點이다.

《다음 號에 계속》

(1978. 3. 日本ゴム協會誌)

